

SPIV Configuration in Pinhole Camera Model

Liu Ning

June 9, 2025

1 SPIV translation configuration

1.1 双相机布置

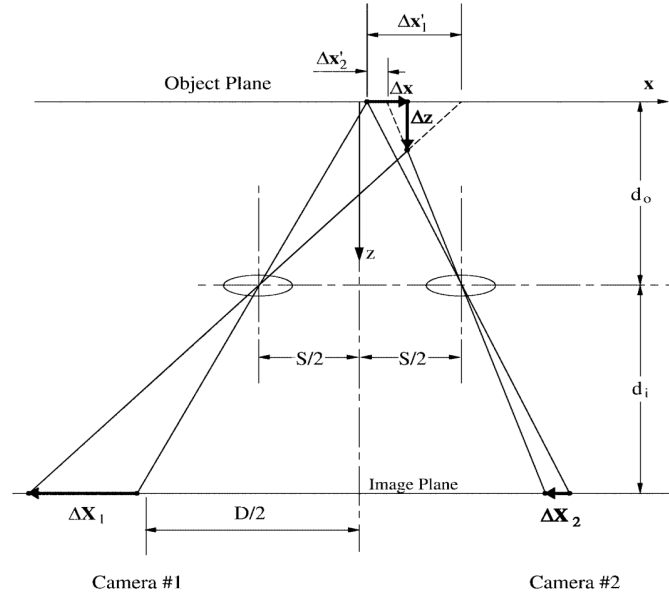


Figure 1: Schematic of stereocamera in the translation configuration.

1.2 双二维像重构实际三维空间

附录中提供了双相机 object plane 中二维像重构世界坐标系空间的映射关系, $\Delta \mathbf{X}_{left\ camera}$ 和 $\Delta \mathbf{X}_{right\ camera}$ 在上述代码中对应 \mathbf{dXl} 和 \mathbf{dXr} , 分别表示实际三维距离矢量在 object plane (对应激光面) 中的投影¹。两个矢量的第一项可与 ΔX_{left} 和 ΔX_{right} 构成两个线性方程组,

¹注意此处没有讨论成像平面上的投影。在平行布置的情况下, object、lens 和 image 三者平面平行, object plane 上的距离投影矢量 $\Delta \mathbf{x}_o$ 与 image plane 上的距离投影矢量 $\Delta \mathbf{x}_i$ 满足 $\Delta \mathbf{x}_o/d_o = -\Delta \mathbf{x}_i/d_i$ (相似三角形)。后续通过像平面 (照片上反映) 的距离反算真实三维空间的距离并无难度, 因此推导到此为止。

$$-\frac{d_o \left(\frac{S}{2} + x\right)}{d_o - z} + \frac{d_o \left(\Delta x_{world} + \frac{S}{2} + x\right)}{-\Delta z_{world} + d_o - z} = \Delta X_{left}, \quad (1)$$

$$-\frac{d_o \left(-\frac{S}{2} + x\right)}{d_o - z} + \frac{d_o \left(\Delta x_{world} - \frac{S}{2} + x\right)}{-\Delta z_{world} + d_o - z} = \Delta X_{right}. \quad (2)$$

求解得到世界坐标系下的 Δx_{world} 和 Δz_{world} 为

$$\Delta x_{world} = \frac{\Delta X_{left}(x - S/2) - \Delta X_{right}(x + S/2)}{-S - (\Delta X_{left} - \Delta X_{right})}, \quad (3)$$

$$\Delta z_{world} = \frac{-d_o(\Delta X_{left} - \Delta X_{right})}{-S - (\Delta X_{left} - \Delta X_{right})}. \quad (4)$$

而两个矢量的第二项可以分别独立求解世界坐标系下的 Δy_{world} ,

$$-\frac{d_o y}{d_o - z} + \frac{d_o(\Delta y_{world} + y)}{-\Delta z_{world} + d_o - z} = \Delta Y_{left}, \quad (5)$$

$$-\frac{d_o y}{d_o - z} + \frac{d_o(\Delta y_{world} + y)}{-\Delta z_{world} + d_o - z} = \Delta Y_{right}. \quad (6)$$

将二者的求解结果取平均以提高结果的精确性,

$$\Delta y_{world} = \frac{-y \Delta z_{world}}{d_o} + \frac{1}{2} \cdot (\Delta Y_{left} + \Delta Y_{right}) \left(1 - \frac{\Delta z}{d_o}\right). \quad (7)$$

至此, 颗粒的实际距离矢量 $\begin{bmatrix} \Delta x_{world} & \Delta y_{world} & \Delta z_{world} \end{bmatrix}^T$ 均已求出。

如何确定世界坐标系下的 x, y ?

2 SPIV angular-displacement configuration

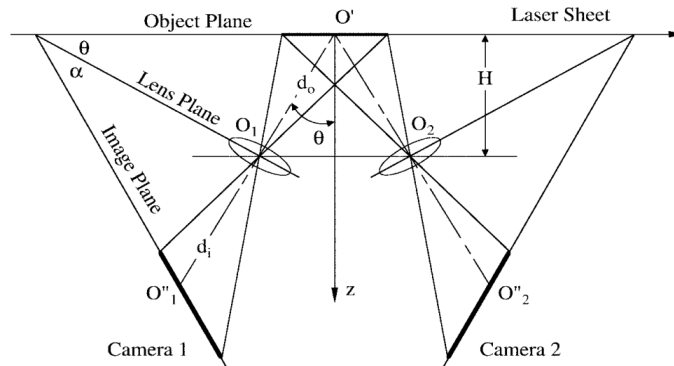


Figure 2: Schematic of stereocamera in the angular-displacement configuration.

2.1 沙姆定律 (Scheimpflug principle)

只要满足成像、镜头、测量三个平面交于同一条直线（对于未移轴的镜头，认为三个平行平面相交于无限远处）的条件，则可以保证测量平面的物体能够清晰成像，因此能够起到调整景深区域位置的作用。

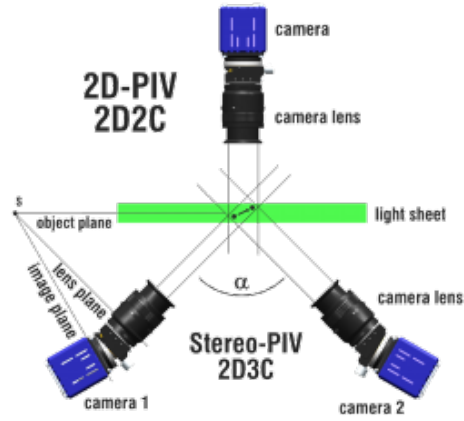


Figure 3: Lavis Stereo-PIV system.

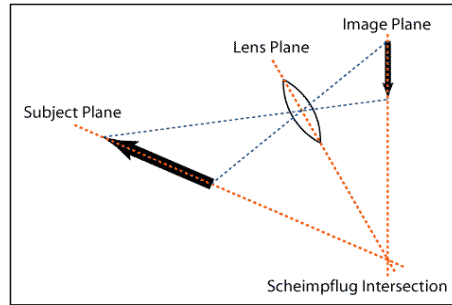


Figure 4: The angles of the Scheimpflug principle, using the example of a photographic lens.

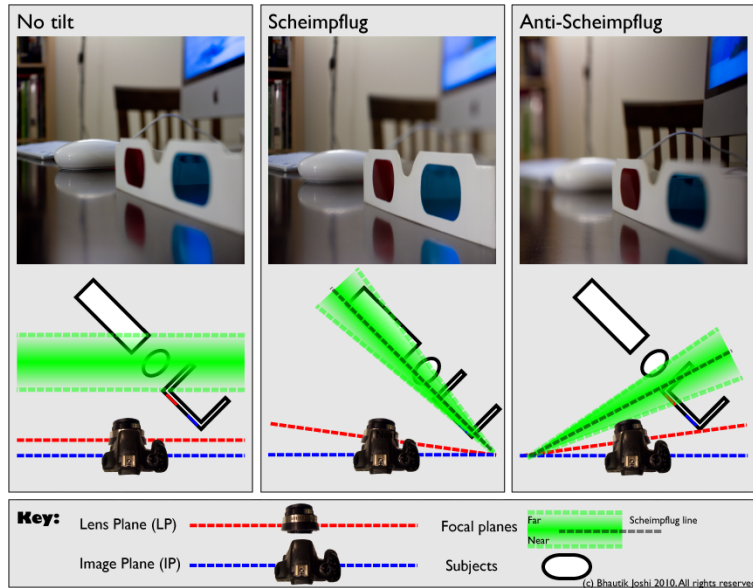


Figure 5: Illustration of the Scheimpflug principle.

目的：

- 增大公共景深区域（common focus area）

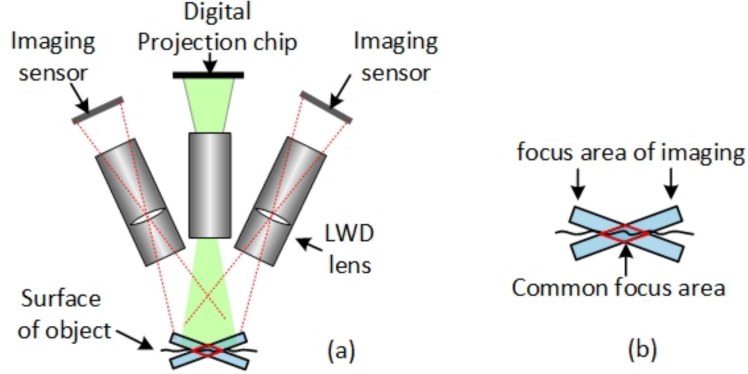


Figure 6: (a) The schematic of setup. (b) The common focus area (Marked with red quadrangle).

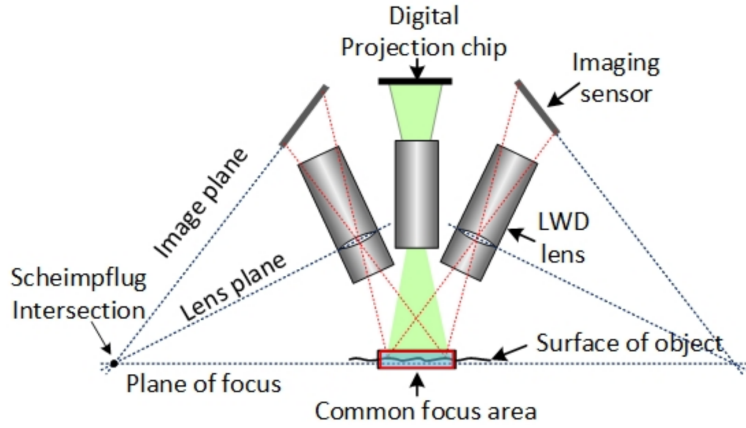


Figure 7: System design based on the Scheimpflug principle.

副作用：

- 不均匀放大倍率 $\Leftarrow \alpha \neq 0$
- 同侧布置两台相机畸变拉伸方向相反（oppositely stretched）

2.2 $\alpha = 0$ condition: Image Plane // Lens Plane

为满足 $\alpha = 0$ 情况的成像条件，需要牺牲光圈²，增大景深，使其能够覆盖尽可能大的三维空间，

$$\delta z = 4(1 + M_n^{-1})^2 f^{\#2} \lambda. \quad (8)$$

其中， λ 为激光波长， $M_n = d_i/d_o$ 为相机放大倍率（Camera magnification）。

² $f^{\#}$ 值越大，光圈越小，得到的景深 δz 越大。

同侧对称布置下双相机的映射关系计算见附录。首先计算世界坐标系下距离矢量

上述方程组完整,一台相机的 object plane 数据可以直接求解三维矢量。但是相机照片并没有 object plane 中的所有分量信息,因此必须考虑如何从投影到 image plane 后的矢量信息重建三维空间。

在 object plane 中 $[X \ Y \ Z]_{\{left, right\}}^T$ 映射到 image plane 为 $[x_i \ y_i \ z_i]_{\{left, right\}}^T$, 两者均在相机坐标系内,满足关系:

$$\begin{aligned} x_i &= -\frac{d_i}{Z} \cdot X \\ y_i &= -\frac{d_i}{Z} \cdot Y \\ z_i &= -d_i. \end{aligned}$$

2.3 双相机异侧布置

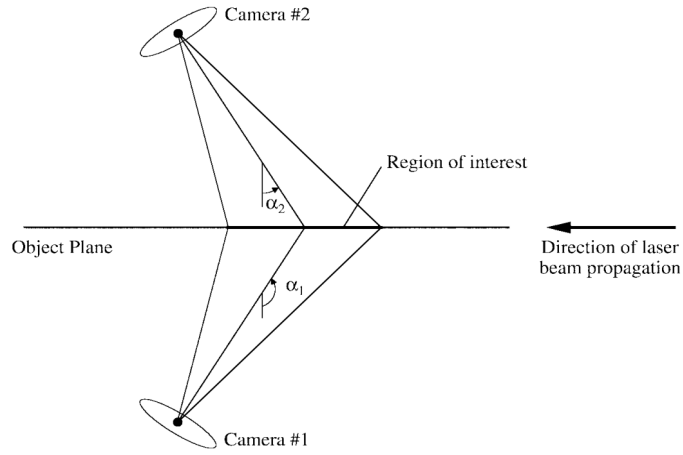


Figure 8: Stereoscopic arrangement with cameras on either side of the light sheet (adapted from Willert 1997).

优势:

- 增大 forward scatter, 提高信噪比?
- 两台相机的畸变拉伸方向一致

2.4 水棱镜